

京都大学工学部 ○正員 河野健一
京都大学工学部 正員 山田善一
岡山大学工学部 正員 竹富宏和

1. まえがき

地盤中に基礎を有する構造物。相互作用解析において上部構造物と下部構造物の2つの構造部分に分けて扱う方法は有力な手法と見られる。特に上部構造物が固定された基礎を有する場合、一般に classical normal mode が適用でき応答解析に必要なモード数も非常に少なくて済む。また下部構造物の動的特性はインピーダンス マトリックスによって表わすことができる。上部構造物に関して座標変換により求めた数個の運動方程式と下部構造物に関する並進あるいはロッキング等に関する運動方程式により全体系の式が得られる。この全体系の運動方程式は一般に非比例形の減衰マトリックスとそれを用いた複素モード解析が必要となるが、単純の塔-基礎系を例にとっての場合、実用的な立場から classical normal mode による応答解析との比較を試みた。また地盤の非線形特性が上部構造物に及ぼす影響についても検討した。

2. 解析手法

基礎地盤のモデル化 半無限弾性地盤中にある基礎構造物の動的特性は波動論による解析あるいは FEM による解析から得られるインピーダンス マトリックスを用いて表わすことができる。一般にインピーダンス マトリックスは外力の振動数に依存した形で表わされる。A.S. Veletos の研究によると半無限弾性盤上にある円形剛板のインピーダンス マトリックスが外力の振動数の関数として近似的な形で表わされている。この結果を利用するとロッキング振動に関して変数 ψ を導入するにより外力の振動数に独立な振動系が得られる。また Novak の研究によると根込まれた基礎構造物のインピーダンス マトリックスが近似的な形で表わされている。これらの結果を用いると基礎構造物は Fig. 1 のような振動モデルによって表わされる。従って基礎構造物の運動方程式は外力の振動数に独立な形として次のように表わされる。

$$[M_b] \{x_b\} + [C_b] \{\dot{x}_b\} + [K_b] \{x_b\} = \{F_b\} \quad \cdots (1)$$

$$\therefore [x_b] = [x_0 \ \theta \ \psi]^T$$

全体系のモデル化 上部構造物である塔は FEM を用いて解析を行なうこととする。塔の運動方程式に基礎の並進とロッキングの運動と相互作用力 $Q(t)$, $M(t)$ の形で加えると全体系の運動方程式が得られる。上部構造物の運動方程式はモダル マトリックス $[V]$ によって自由度を低減して扱うことができるので全体系の運動方程式は次のようになる。

$$[M] \{q\} + [C] \{\dot{q}\} + [K] q = \{F\} \tilde{x}_{\text{基}}(t) \quad \cdots (2)$$

変数 ψ の影響 これまでの定式化において地盤中にある基礎構造物のインピーダンス マトリックスを変数 ψ の導入により振動数に独立な系へと変換した。Fig. 2 に示すように基礎構造物の固有振動数はロッキング振動に関して変数 ψ の影響は $H/2r_0$ が大きい場合は小さく、 $H/2r_0$ が小さい場合は大きいことが示される。

等価線形化 並進、ロッキング振動とも手法は同様であるからロッキング振動を例にとって、回転角 θ を水平の伸縮率 ϵ とクーリングライナーの滑り角 ψ とに分けた。このとき bilinear 線と等価線形系の自乗誤差の期待値の最小化を行なうと等価剛性及ば減衰係数が計算できる。ところが $E[\psi^2]$ の評価は次式で与えられる。 $E[\psi^2] = 2\sqrt{\frac{1}{\pi}} Q_{\theta} P_{\theta}(Q_{\theta})^2$ ただし $P_{\theta}(Q_{\theta})$ は Q_{θ} の確率密度関数である。シミュレーション実験の結果から $P_{\theta}(Q_{\theta})$ は近似的に $(Q_{\theta}^2/Q_f^2)^m$ で表わされる。本研究では $m=3$ を用いる。また Q_{θ}^2 の値は

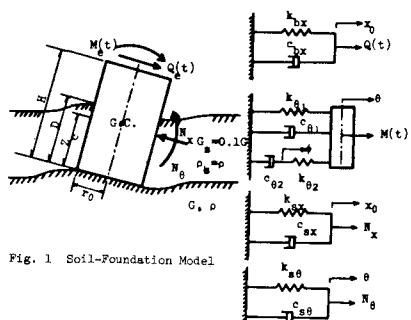


Fig. 1 Soil-Foundation Model

その係数を求めて振動数により求められる。従って等価剛性および減衰係数は次式で与えられる。

$$\frac{C_{eq,ff}}{k_0} = \frac{C_0}{k_0} + (1-d_0) \sqrt{\frac{2}{\pi}} \Omega_r \left(\frac{\zeta^2}{\zeta_f^2} \right)^{1/2}, \quad \frac{k_0, C_{eq}}{k_0} = d_0 + (1-d_0) \frac{\zeta_f^2}{\zeta^2} \quad \cdots (3)$$

全体系の運動方程式(2)式の中で基礎地盤の非線形特性がある場合を考慮し、(3)式によって計算される等価剛性および減衰が初めて仮定したものとの誤差八十分小くなるまで収束計算を行う。

複素モード解析

(2)式における減衰マトリックス $[C]$ は非比例形の形をしており classical normal mode の適用については根拠ある必要がある。このような場合、2階の運動方程式の自由度を倍にして1階の運動方程式に置きかえて複素固有値解析により計算することができる。また1階の運動方程式に変換した場合、柔軟の慣性項に相当する部分は 0 となるため無視することができる。従って(2)式は次のようになる。

$$[A]\{u\} + [B]\{u\} = \{P\} \ddot{u}(t) \quad \cdots (4)$$

$$[A] = \begin{bmatrix} C_0 & [\tilde{M}^*] \\ [\tilde{M}] & C_0 \end{bmatrix}, \quad [B] = \begin{bmatrix} -[\tilde{M}^*] & C_0 \\ C_0 & [\tilde{R}] \end{bmatrix}, \quad \{P\} = \begin{bmatrix} 0 \\ \tilde{F} \\ 0 \end{bmatrix}, \quad \{u\} = \begin{bmatrix} \dot{u} \\ \ddot{u} \\ u \end{bmatrix}$$

$[\tilde{M}^*]$, \dot{u} は元の u に相当する項を除去了ことを表す。

(4)式の固有値解析を行い複素モードマトリックス $[E]$ を求めよ。

ソフトウェア加振による応答共分散マトリックスは次式から得られる。

$$\frac{d}{dt}[R_r] + [E][\lambda_r][R_r] + [R_r][\lambda_r] = 2\pi S_r[\Psi][Q][\Psi]^T \quad \cdots (5)$$

$$\therefore \dot{u} = [E][\lambda_r][r], \quad [\Psi] = [\Psi]^T, \quad [\Psi][\Psi]^T[\Psi] = [E][\lambda_r]$$

$$[R_r] = E[\lambda_r^2 + r^2], \quad [Q] = [A][\lambda_r^2][B],$$

$$[Q] = E[\dot{u}[\dot{P}]^T] + E[r\dot{r} + \dot{u}^2]$$

定常応答は $\frac{d}{dt}[R_r] = 0$ とおくことにより求められる。 $[R_r]$ は座標変換により $[R_u]$ へと変換される。また $[R_u]$ は座標変換により $[R_g]$ へと変換される。そして上部構造物である塔の応答共分散マトリックスはモードマトリックス $[V]$ を用いて $[R_g]$ を座標変換すれば求められる。

3. 解析結果

1次と2次の固有振動数が接近する $V_s = 400 \text{ m/s}$ と分離する $V_s = 650 \text{ m/s}$ の2つの地盤条件での応答計算を行った。Fig. 3 および Fig. 4 は柔軟の考慮した場合、無視して近似的に扱った場合、および $[\tilde{C}]$ の対角化による3種における近似的応答の結果の比較を行ったものである。非線形応答は履歴減衰の影響により線形応答より一様に小さくなる。その程度は $V_s = 400 \text{ m/s}$ で大きい。 $V_s = 650 \text{ m/s}$ では $[\tilde{C}]$ の対角化による近似的な応答解析でも線形および非線形応答にかかわらず十分な結果が得られることがわかる。柔軟の考慮するほどを考慮した場合には減衰定数が増加する傾向を示すため、一般に応答は小さくなる。しかししながら2つの地盤条件では比較的よく一致した結果が得られている。

参考文献 4) Y. Yamada, "Seismic Response Analysis of Long span Suspension Bridge", BWCEE, 3, 1977

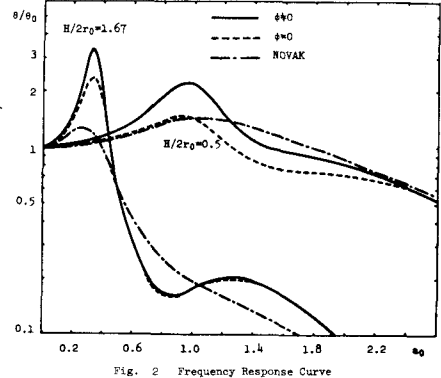


Fig. 2 Frequency Response Curve

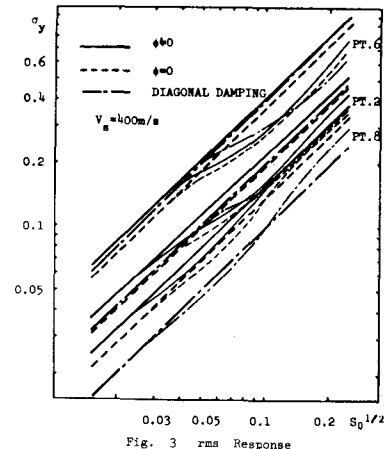


Fig. 3 rms Response

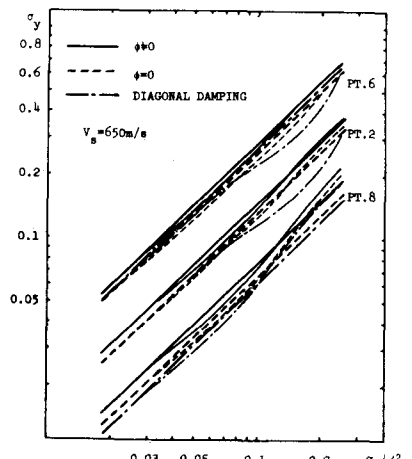


Fig. 4 rms Response